

LEYENDA

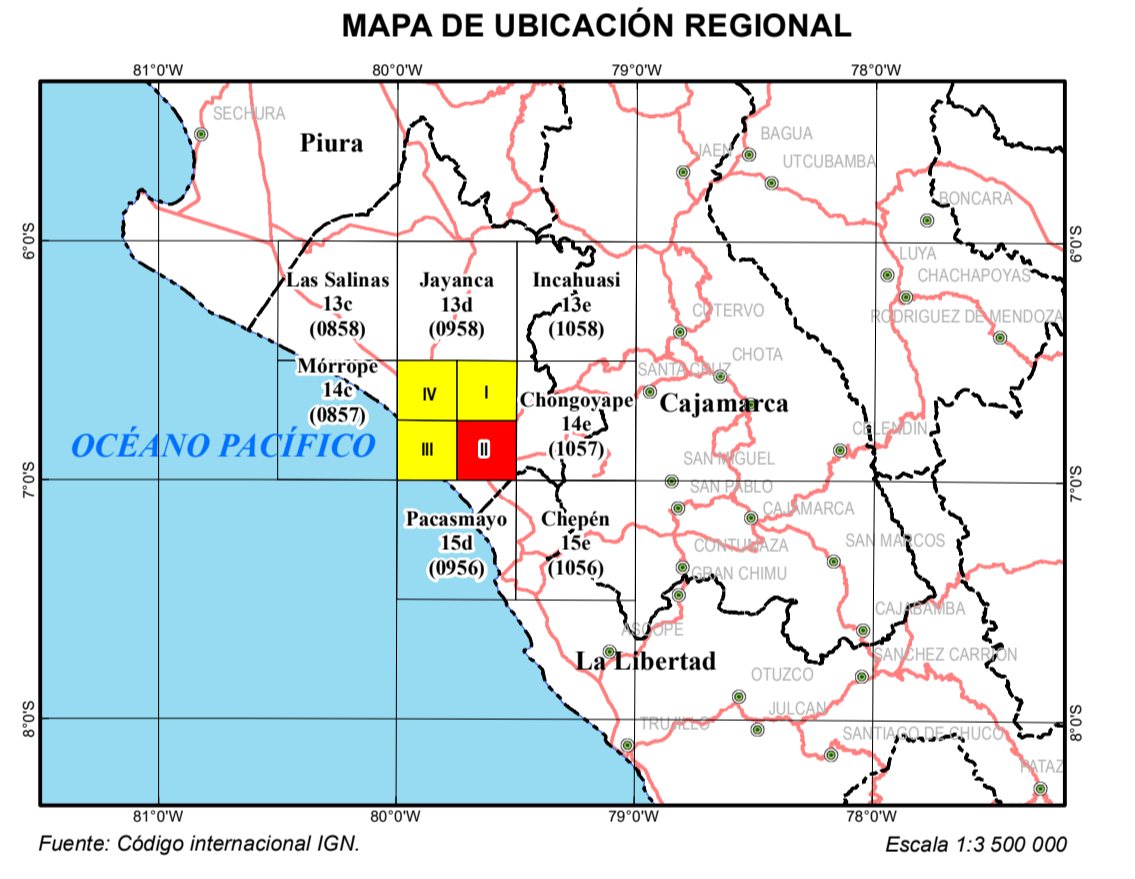
Era	Sistema	Serie	UNIDADES LITOESTRATIGRÁFICAS	ROCAS ÍGNEAS	ROCAS SUBVOLCÁNICAS
CUATERNARIO	Holoceno	Qa1	Depósitos Fluviales: Ombres con cactus esbozados en una matriz arenosa, con pequeños lentos arenosos que se encuentran a lo largo de las lavas. Formado por arena, limo, arcilla que se encuentran formando grandes terraces sobre todo en las zonas de las grandes lavas. Seales terraces son elevadas principalmente como terraces de cultivo.	Pi-gr	Porfido Cuadernos: Conformado por cristales de cuarzo en una matriz microporosa.
		Qa2	Depósitos Aluviales 2: Constituidos por gravas, arenas, limos, arcillas que se encuentran formando grandes terraces sobre todo en las zonas de las grandes lavas. Seales terraces son elevadas principalmente como terraces de cultivo.	Pi-gr	Dacha: Presenta cristales de plagioclasas y cuarzo.
		Qa3	Depósitos Aluviales 1: Constituidos por gravas, arenas, limos, arcillas que se encuentran en pie de grandes morrenas a veces intercalados con arenas. Seales terraces de deposición.	Pi-gr	Andesita porfírica: con fenocristales de anfíboles volcánicos dentro de una matriz afílica.
		Qe01	Depósitos Eólicos: Son depósitos formados por la acción del viento, ocupan grandes extensiones y forman dunas.		
CENOZOICO	Pleistoceno	Pic-01	Formación Lima: Ruptura por extensiones con filices argilosas a subvolcánicas de composición andesítica-dacítica e intrusivos con matriz compacta. Espesor 200 m.	Pi-gr	
		Pic-02	Formación Parí: Ruptura por extensiones con filices argilosas a subvolcánicas de composición andesítica-dacítica e intrusivos con matriz compacta. Espesor 200 m.	Pi-gr	
		Pic-03	Formación Parí: Ruptura por extensiones con filices argilosas a subvolcánicas de composición andesítica-dacítica e intrusivos con matriz compacta. Espesor 200 m.	Pi-gr	
NEOGENO	Mioceno	Pic-04	Formación Parí: Ruptura por extensiones con filices argilosas a subvolcánicas de composición andesítica-dacítica e intrusivos con matriz compacta. Espesor 200 m.	Pi-gr	
		Pic-05	Formación Parí: Ruptura por extensiones con filices argilosas a subvolcánicas de composición andesítica-dacítica e intrusivos con matriz compacta. Espesor 200 m.	Pi-gr	
PALEÓGENO	Eoceno	Pic-06	Formación Parí: Ruptura por extensiones con filices argilosas a subvolcánicas de composición andesítica-dacítica e intrusivos con matriz compacta. Espesor 200 m.	Pi-gr	
		Pic-07	Formación Parí: Ruptura por extensiones con filices argilosas a subvolcánicas de composición andesítica-dacítica e intrusivos con matriz compacta. Espesor 200 m.	Pi-gr	
MESOZOICO	Paleoceno	Pic-08	Formación Parí: Ruptura por extensiones con filices argilosas a subvolcánicas de composición andesítica-dacítica e intrusivos con matriz compacta. Espesor 200 m.	Pi-gr	
		Pic-09	Formación Parí: Ruptura por extensiones con filices argilosas a subvolcánicas de composición andesítica-dacítica e intrusivos con matriz compacta. Espesor 200 m.	Pi-gr	
SUPERIOR	Cretácico	Ki-01	Grupo Puliucana-Qulliquilán: Calizas gris oscuras marmoleadas en capas de 0.2 a 0.5 m, con algunos niveles fosilíferos. Alcanza un espesor de 500 m.	Ki-gr	
		Ki-02	Formación Parí: Ruptura por extensiones con filices argilosas a subvolcánicas de composición andesítica-dacítica e intrusivos con matriz compacta. Espesor 200 m.	Ki-gr	
INFERIOR	Cretácico	Ki-03	Formación Parí: Ruptura por extensiones con filices argilosas a subvolcánicas de composición andesítica-dacítica e intrusivos con matriz compacta. Espesor 200 m.	Ki-gr	
		Ki-04	Formación Parí: Ruptura por extensiones con filices argilosas a subvolcánicas de composición andesítica-dacítica e intrusivos con matriz compacta. Espesor 200 m.	Ki-gr	

DATACIONES RADIMÉTRICAS

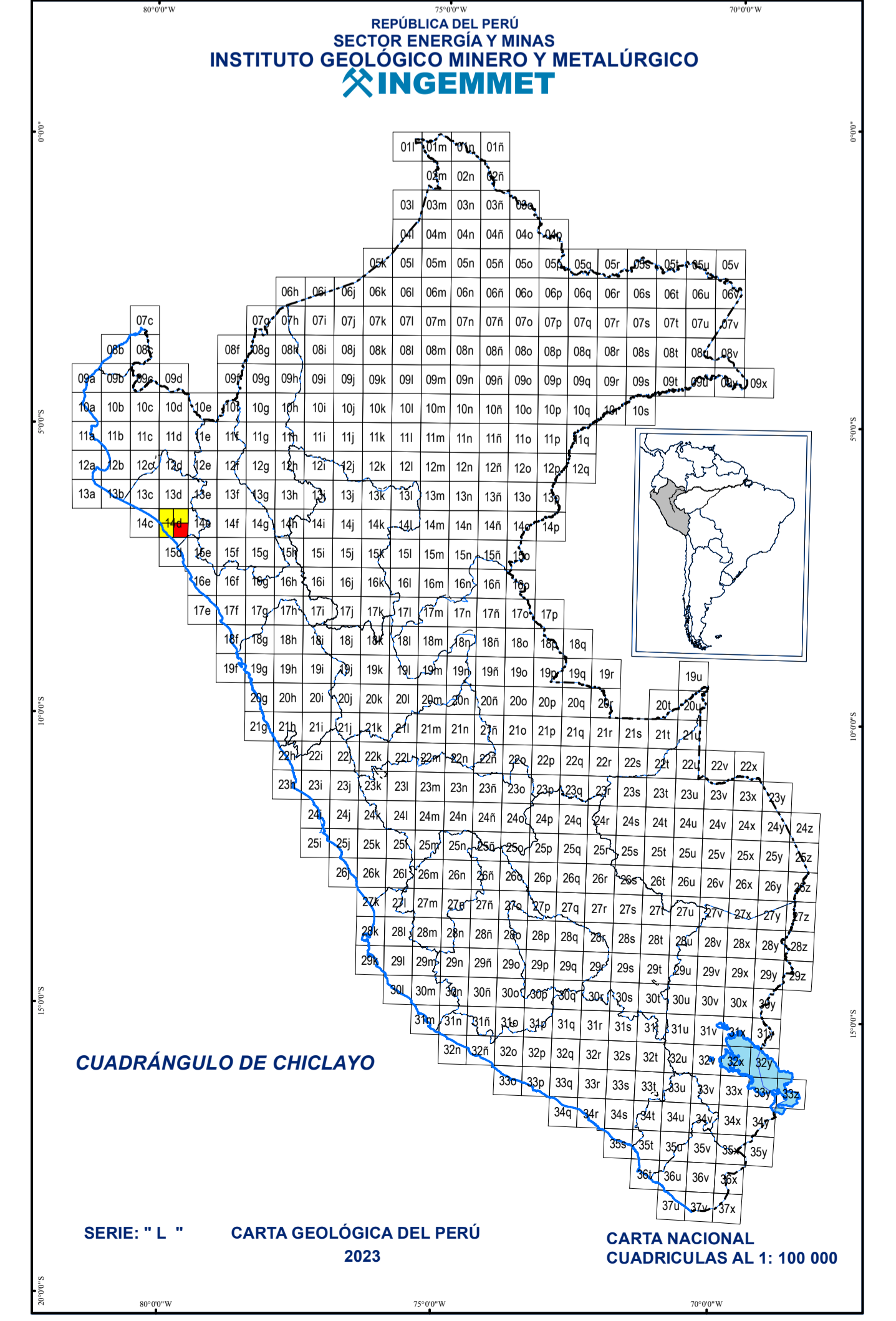
Edad (Ma)	Método	Longitud	Latitud	UTM_E	UTM_N	Zona	Material	Tipo de roca	Unidad	Muestra	Referencia
5122±0.66	U-Pb	-79.548	-6.936	660455.65	9233100.37	7S	Medium-coarse grained granite	granite	Ki-gr	TW320_1-1	INGEMMET & CGS, 2015
48.77±0.61	U-Pb	-79.637	-6.914	650568.24	9235594.47	7S	Monzogranite	monzogranite	KI-ad	TW320-0-1	INGEMMET & CGS, 2015
48.77±0.66	U-Pb	-79.637	-6.914	650568.24	9235594.47	7S	Monzogranite	monzogranite	KI-mz	TW320-0-2	INGEMMET & CGS, 2015
53±2	K-Ar	-79.559	-6.802	659286.828	9247935.089	7S	biotita	monzogranite	Batolito de la Costa	1	Stewart et al. (1974)

SÍMBOLOS

Dato estructural	Topografía
Rumbo y buzamiento de estrato inclinado	Cerro
Contacto geológico	Puerto
Contacto geológico definido	Mina
Sección	Curvas de Nivel
— Línea de sección	Curva Índice
Falla	Curva Intermedia
— Falta con movimiento indefinido	Curva Suplementaria
— Falta inversa de alto ángulo definido	Drainaje
Plegue	Río
— Sinclinal definido	Quebrada
— Anticlinal definido	Masas de agua
Perfil y Sección Geológica	Vías
Contacto geológico definido	— Carretera Ancha
Línea de perfil	— Carretera Estrecha
Línea de sección	— Camino de Hierro
Falla normal con bloques derecho hundido	Polygonal Urbana
Geocronología	— Puesto
• Datación radiométrica	— Casco Urbano
— Zona de alteración	



REPÚBLICA DEL PERÚ
 SECTOR ENERGÍA Y MINAS
 DIRECCIÓN DE GEOLOGÍA REGIONAL
INGEMMET
 INSTITUTO GEOLÓGICO MINERO Y METALÚRGICO
 MAPA GEOLÓGICO DEL CUADRÁNGULO DE CHICLAYO 14d2
 SERIE L: ACTUALIZACIÓN DE LA CARTA GEOLÓGICA NACIONAL
 ESCALA 1: 50 000
 Presidente del Consejo Directivo: Henry John Luna Córdova
 Gerente General: Esteban Mario Bertarelli Bustamante
 Coordinador de Geologías y Laboratorios de la PCD: Jorge Eduardo Chira Fernández
 Director de Geología Regional: César Augusto Chacabana Buelde
 Autores:
 Revisión y actualización (2015): Fredy Jaimes, Juan Pablo Navarro & Alan Santos.
 Revisión: Agapito Sanchez F.
 Edición: OSI - Cartografía Geológica Digital.
 Digitalización y SIG: Julio Velasco Silva Mier y Teran
 Referencia geodésica:
 Proyección Universal Transversal de Mercator (UTM) zona 17.
 Datum: Sistema Geodésico Mundial 1984.
 Impreso en el 2023.
 Razón Social: Instituto Geológico Minero y Metalúrgico (INGEMMET)
 Domicilio: Av. Canadá N° 1470 San Borja Lima - Perú
 ©INGEMMET
 Derechos Reservados. Prohibida su Reproducción.



Base Topográfica IGN 1970, Proyectada a WGS 1984.

